

第五章 弾性體ニ於ケル應力

(Stress in any Point of a Solid Elastic Body)

第一節 應力平衡ノ方程式

(General Equations of Equilibrium of Stresses)

(I) 互ニ垂直ナル三平面ニ於ケル應力

一ツノ物體內ニ於ケル内力ノ關係ヲ知ランガ爲メ Fig. 88 = 示

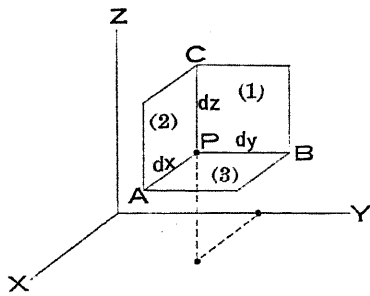


Fig. 88.

ス OX, OY, OZ ノ三直座標軸ヲ採リ
其物體內ノ任意點 P ノ座標ヲ (x, y, z)
トス, コノ P ヲ通ジテ座標軸ニ平行
ナル三平面ヲ作リコノ三平面内ニ
三ツノ極微面積 (Elementary area) ヲ
考ヘル, 即チ Fig. 88 = 示ス如ク (1) ハ
 X 軸ニ直角, (2) ハ Y 軸ニ直角, (3) ハ Z

軸ニ直角トス, 今此三邊長ヲ dx, dy, dz トスレバ (1) 平面ノ面積ハ $dy \cdot dz$,

(2) 平面ノ面積ハ $dz \cdot dx$, (3) 平面ノ面積
ハ $dx \cdot dy$, トナル, 而シテ此等ノ極微面
積ニ於ケル應力度ヲ p_x, p_y, p_z (此 p_x =
附シタル x ハ X 軸ニ直角ナル (1) 面
ニ働クモノナル事ヲ意味ス) トスレ
バ一般ニ是等ノ應力ハ夫々ノ面
ニ對シテ或傾斜ヲ爲スノデアルカ
ラ各々其面ニ對シテ垂直及切線應

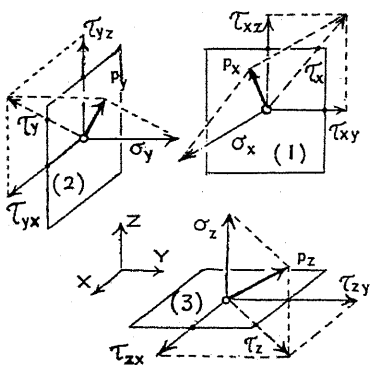


Fig. 89.

力 (Normal and tangential stress) = 分解シ得ラレル筈デアアル, コレヲ Fig. 89 = 示セバ (1) 平面 = 働ク p_x ハ σ_x ト τ_x ト = 分解セラレ更ニ τ_x ハ Y 軸及 Z 軸 = 平行ニ τ_{xy} ト τ_{xz} ト = 分解セラレル, 此 σ_x = 附シタル x ハ σ_x ガ X 軸 = 垂直ナ (1) 面 = 働ク垂直應力ノ意デアツテ τ_{xy} τ_{xz} = 於ケル x ハ其働ク面ガ X 軸 = 直角ナルヲ示シ y, z ハ其剪力ガ Y 軸及 Z 軸 = 平行ナルヲ示ス, コレト全ク同様 = 他ノ p_y, p_z モ夫々三ツノ分力 = 分タレ從ツテ Fig. 89 = 示ス如ク九個ノ分力トナル, コレヲ表記スレバ

平行ナル軸ノ方向	X 軸	Y 軸	Z 軸
(1) 面 = 働ク p_x	σ_x	τ_{xy}	τ_{xz}
(2) 面 = 働ク p_y	τ_{yx}	σ_y	τ_{yz}
(3) 面 = 働ク p_z	τ_{zx}	τ_{zy}	σ_z

(II) 極微直六面體 = 働ク應力

今考ヘテ居ツタ P 點ヲ隅點トスル小直六面體ヲ採リ其稜長ヲ

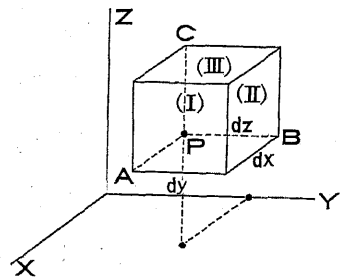


Fig. 90.

dx, dy, dz トス, 然ル時ハ前項 = 考ヘテ居ツタ三面ハ Fig. 90 = 示ス直六面體ノ裏側 = アル三面ト一致スル, 此直六面體 = 於テ (1) 面ト dx ヲ隔テ存スル平面ヲ (I), (2) ノ面ト dy ノ距離 = アル平行面ヲ (II), (3) ト平行テ dz ヲ隔ツル平面ヲ (III) ト名ズル, 然ル時ハ此六面體ノ面 BPC = 作用スル應力ハ前 = 考ヘタ (1) 面ノ應力トハ反對 = 向ヒ $-\sigma_x, -\tau_{xy}, -\tau_{xz}$ トナリ前 = (2) トシタ面 = 接スル APC 面ノ應力ハ

$-\tau_{yz}, -\sigma_y, -\tau_{yz}$ トナリ更ニ (3) ト平行ニアル面 APB ノ應力ハ $-\tau_{xz}, -\tau_{zy}, -\sigma_z$ トナル, 故ニコレヲノ應力度ヲ有スル六面體ノ各面 = 於ケル總應力ハ

- (1) 面ノ位置 $-\sigma_x dy dz, -\tau_{xy} dy dz, -\tau_{xz} dy dz$
- (2) 面ノ位置 $-\tau_{yx} dz dx, -\sigma_y dz dx, -\tau_{yz} dz dx$
- (3) 面ノ位置 $-\tau_{zx} dx dy, -\tau_{zy} dx dy, -\sigma_z dx dy$

是等ノ三面積ハ何レモ極小 (Infinitely small) デアル故 = 是等ノ力ハ勿論均等 = 分布スルモノト考ヘ得ルノデアアル, 故ニ此力ハ BPC, CPA 及 APB ノ三面ノ重心 = 働クベク此九個ノ力ヲ圖示シテ Fig. 91 ヲ得ル.

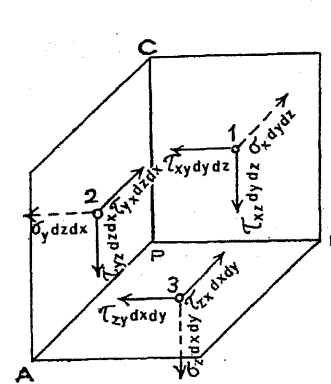


Fig. 91.

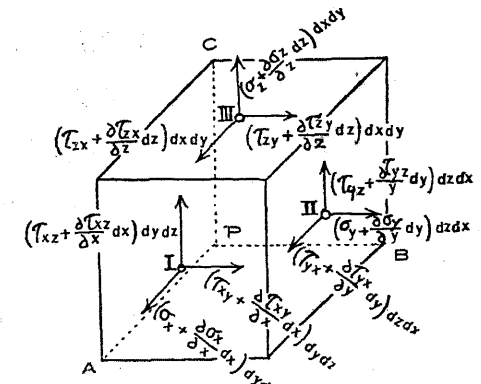


Fig. 92.

六面體ノ他ノ三面ハ前掲ノ三面ヨリ dx, dy, dz ヲ隔ツタ面デアアル, 其 (I), (II), (III) ナル面ノ重心 = 働ク力ハ既 = Fig. 91 = 示シタ力 = 更ニ dx, dy, dz 進ム間 = 生ジタ變化ヲ加ヘレバヨイノデアツテ其力ノ方向ハ反對 = 向ツテ居ル, 從ツテ今 (I) ノ重心 = 働ク力ハ

$$\begin{aligned} \sigma_x dy dz + \frac{\partial(\sigma_x dy dz)}{\partial x} dx &= \left(\sigma_x + \frac{\partial \sigma_x}{\partial x} dx \right) dy dz \\ \tau_{xy} dy dz + \frac{\partial(\tau_{xy} dy dz)}{\partial x} dx &= \left(\tau_{xy} + \frac{\partial \tau_{xy}}{\partial x} dx \right) dy dz \\ \tau_{xz} dy dz + \frac{\partial(\tau_{xz} dy dz)}{\partial x} dx &= \left(\tau_{xz} + \frac{\partial \tau_{xz}}{\partial x} dx \right) dy dz \end{aligned}$$

面 BPC ト dx 隔タレル面 (I) ノ重心ニ働ク力ハ絶對値ニ於テ此式ニ表ハサレル,コレト全ク同様ニ CPA ト dy 隔レル面 (II) ノ重心ニ働ク力及 APB ト dz 隔レル平行面 (III) ノ重心ニ働ク力モ求メル事ガ出來ル,此九個ノ力ヲ記入スレバ Fig. 92 ヲ得ル。

斯クテ總計十八個ノ力ヲ得タノデアアルガ其外ニ此立方體ノ質量ニ對スル力ガアル,コレヲ三軸 X, Y, Z ニ分チテ單位容積ニ付キ X, Y, Z デアルモノトシヤウ,然ル時ハ立方體ノ容積ハ dx.dy.dz デアルカラ三軸ノ方向ノ質量ノ力ハ

$$X. dx. dy. dz, \quad Y. dx. dy. dz, \quad Z. dx. dy. dz$$

ノ三分カトシテ取扱ハレル,此三ツノ力ハ立方體ノ重心ニ働ク事ハ勿論デアツテ斯クテ二十一個ノ力ヲ得タノデアアル。

(III) 極微直六面體ニ於ケル應力ノ平衡 (Equilibrium of forces in an infinitely small parallelepiped)

前項ニ得タ二十一個ノ力ガ平衡ニアル事ヲ要スルノデアツテ次ニ示ス六ツノ平衡條件ヲ満足セネバナラス,即チ

X, Y, Z ノ三軸ノ方向ニ於ケル力ノ和 = 0.

X, Y, Z ノ三軸又ハコレニ平行ナ軸ニ對スル力率ノ和 = 0.

此始メノ三ツノ條件ニヨリ Fig. 91 及ビ Fig. 92 ニ就キテ三軸ノ方向ノ力ヲ合計シコレヲ dx.dy.dz ニテ割レバ次ノ三式ヲ得。

$$\left. \begin{aligned} \frac{\partial \sigma_x}{\partial x} + \frac{\partial \tau_{yz}}{\partial y} + \frac{\partial \tau_{zx}}{\partial z} + X &= 0 \\ \frac{\partial \tau_{xy}}{\partial x} + \frac{\partial \sigma_y}{\partial y} + \frac{\partial \tau_{zy}}{\partial z} + Y &= 0 \\ \frac{\partial \tau_{xz}}{\partial x} + \frac{\partial \tau_{yz}}{\partial y} + \frac{\partial \sigma_z}{\partial z} + Z &= 0 \end{aligned} \right\} \dots\dots\dots (74)$$

次ニ第二ノ平衡條件即チ三軸又ハコレニ平行ナ軸ニ對スル力率ノ和ガ零ニ等シイ事ヲ表ハス式ヲ作ル場合ニ其軸ノ採リ方ニヨツテ式ガ非常ニ簡單トナル,先ヅ X 軸ニ就イテ云ヘバ X 軸ニ平行ニ六面體ノ重心ヲ通ズル軸ヲ力率中心ニ選ベバ次ニ列擧スル多クノ力ガ力率ヲ與ヘナイ事トナリ結果ガ簡單トナル,其力率ヲ與ヘナイ力ハ

1°. (1) 及 (I) ノ平面ニ働ク力ノ全部

2°. (2) = 働ク $-\tau_{yz}.dz.dx, -\sigma_y.dz.dx$ 及ビ

$$(II) = 働ク \left(\tau_{yz} + \frac{\partial \tau_{yz}}{\partial y} dy \right) dz.dx, \left(\sigma_y + \frac{\partial \sigma_y}{\partial y} dy \right) dz.dx$$

3°. (3) = 働ク $-\tau_{zx}.dx.dy, -\sigma_z.dz.dy$ 及ビ

$$(III) = 働ク \left(\tau_{zx} + \frac{\partial \tau_{zx}}{\partial z} dz \right) dx.dy, \left(\sigma_z + \frac{\partial \sigma_z}{\partial z} dz \right) dx.dy$$

4°. 質量ノ力全部

從ツテ此軸ヲ力率中心ニ採ツタ時ニ式中ニ表ハレル力ハ

Fig. 93 ニ示ス四力ダケデアアル。

從ツテ求メタ力率ノ式ハ

$$\tau_{yz}.dz.dx. \frac{dy}{2} + \left(\tau_{yz} + \frac{\partial \tau_{yz}}{\partial y} dy \right) dz.dx. \frac{dy}{2}$$

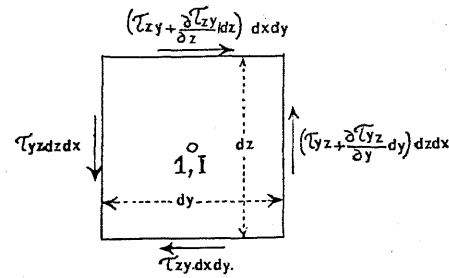


Fig. 93.

$$-\tau_{zy}.dx.dy. \frac{dz}{2} - \left(\tau_{zy} + \frac{\partial \tau_{zy}}{\partial z} dz \right) dx.dy. \frac{dz}{2} = 0$$

此式カラ四次ノ微分量ヲ無視シ

$$\tau_{yz} \cdot dx \cdot dy \cdot dz - \tau_{zy} \cdot dx \cdot dy \cdot dz = 0$$

$$\therefore \tau_{yz} = \tau_{zy} \dots \dots \dots (75)$$

此レト同様ニ Y 及 Z 軸ニ平行デ六面體ノ重心ヲ通ズル如キ軸ニ對シテ計算ヲ行ヘバ次ノ關係ヲ得

$$\tau_{zx} = \tau_{xz} \quad \tau_{xy} = \tau_{yx}$$

此結果ハ Fig. 94ニ明カナ如ク直六面體ノ一ツノ稜ニ直角ニ向

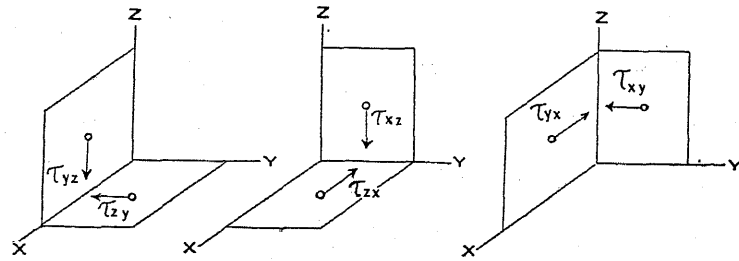


Fig. 94.

ツテ居ル剪力ハ互ニ相等シキ事ヲ示ス、今是等ノ應力ノ名ヲ變ジテ

$$\tau_{yz} = \tau_{zy} = \tau_x \text{ (X 軸ニ直角ニ働ク剪力ノ意)}$$

$$\tau_{zx} = \tau_{xz} = \tau_y$$

$$\tau_{xy} = \tau_{yx} = \tau_z$$

トスレバ(74)式ハ次ノ如ク記載セラレル。

$$\left. \begin{aligned} \frac{\partial \sigma_x}{\partial x} + \frac{\partial \tau_x}{\partial y} + \frac{\partial \tau_x}{\partial z} + X &= 0 \\ \frac{\partial \tau_x}{\partial x} + \frac{\partial \sigma_y}{\partial y} + \frac{\partial \tau_y}{\partial z} + Y &= 0 \\ \frac{\partial \tau_y}{\partial x} + \frac{\partial \tau_x}{\partial y} + \frac{\partial \sigma_z}{\partial z} + Z &= 0 \end{aligned} \right\} \dots \dots \dots (76)$$

以上説明シタ如ク或彈性體內ニ生ズル垂直應剪力ニ對シテハ必ズコレト直角ニ交ハル水平應剪力が存在スルモノデアツテ然カモ其強度ハ必ズ相等シキ事ヲ知ル。

第二節 極微四面體ニ於ケル力ノ平衡

(Equilibrium of Forces in an Infinitely Small Tetrahedron)

Fig. 95ニ示ス PABCナル四面體ハ前ニ Fig. 90ニ示シタ六面體ヲ A, B, Cノ三點ヲ通ズル平面ニテ切ツテ出來タモノトスル、此容積ヲ dV 、平面 ABCノ面積ヲ F トシ尙 $\alpha =$ 平面 ABCト平面 BPCトノ間ノ角

$\beta =$ 平面 ABCト平面 CPAトノ間ノ角

$\gamma =$ 平面 ABCト平面 APBトノ間ノ角

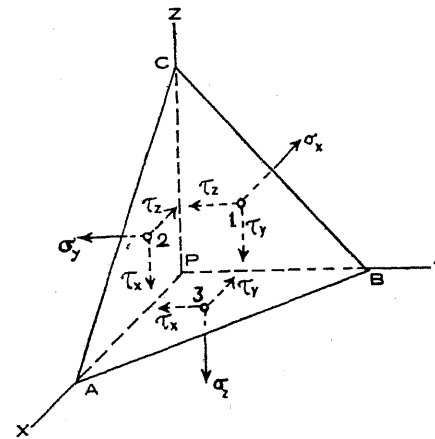


Fig. 95.

トス、然ル時ハ他ノ三面ノ面積ハ

$$BPC = F \cdot \cos \alpha, \quad CPA = F \cdot \cos \beta, \quad APB = F \cdot \cos \gamma.$$

而シテ此互ニ直角ニアル三面ノ應力ハ Fig. 95ニ示ス如クデアツテコレハ Fig. 91ニアル應力ト同ジデアル、勿論茲ニハ $\tau_{zx} = \tau_{xz} = \tau_y$ 等ト書き換ヘテアル、尙平面 ABCニ生ズベキ應力ヲ p 、ソノ p ガ座標軸 X, Y, Zトナス角ヲ λ, μ, ν トスル、然ル時ハ座標軸 X, Y, Zノ方向ニ於ケル平衡條件ハ次式ニテ與ヘラレル。

$$\begin{aligned}
-\sigma_x \cdot F \cdot \cos \alpha - \tau_{xy} \cdot F \cdot \cos \beta - \tau_{yz} \cdot F \cdot \cos \gamma + p \cdot F \cdot \cos \lambda + X \cdot dV &= 0 \\
-\tau_{xy} \cdot F \cdot \cos \alpha - \sigma_y \cdot F \cdot \cos \beta - \tau_{yz} \cdot F \cdot \cos \gamma + p \cdot F \cdot \cos \mu + Y \cdot dV &= 0 \\
-\tau_{yz} \cdot F \cdot \cos \alpha - \tau_{xy} \cdot F \cdot \cos \beta - \sigma_z \cdot F \cdot \cos \gamma + p \cdot F \cdot \cos \nu + Z \cdot dV &= 0
\end{aligned}$$

是等ノ式ノ何レニ於テモ始メノ四項ハ第二次ノ微分量 (Infinitesimal) デアルニ對シ最後ノ項ハ第三次ノ微分量デアル故ニ之ヲ無視スレバ

$$\left. \begin{aligned}
p \cdot \cos \lambda &= \sigma_x \cdot \cos \alpha + \tau_{xy} \cdot \cos \beta + \tau_{yz} \cdot \cos \gamma \\
p \cdot \cos \mu &= \tau_{xy} \cdot \cos \alpha + \sigma_y \cdot \cos \beta + \tau_{yz} \cdot \cos \gamma \\
p \cdot \cos \nu &= \tau_{yz} \cdot \cos \alpha + \tau_{xy} \cdot \cos \beta + \sigma_z \cdot \cos \gamma
\end{aligned} \right\} \dots\dots\dots (77)$$

此他ニ一般ノ幾何學的關係トシテ

$$\cos^2 \lambda + \cos^2 \mu + \cos^2 \nu = 1$$

即チ平衡條件トシテ合計四式ヲ得タ故ニ Fig. 95 = 示シタ如キ三平面ニ働ク $\sigma_x, \sigma_y, \sigma_z, \tau_{xy}, \tau_{yz}, \tau_{zx}$ ノ分應力ガ與ヘラレテ居レバ夫等ノ應力ノ働ク平面ト α, β, γ ノ傾斜ヲ爲ス平面 ABC ノ應力 p 及ビ其 p ガ座標軸トナス角度 λ, μ, ν ノ四ツノ未知數ヲ求ムル事ガ出來ル。

以上四面體ヲ採ツテ考ヘテ來タ此條件ハ第四ノ極微面積 ABC ガ P 點ニ漸次近ヨツテ來テ遂ニ P ト一致シテモ何等變化ノ無イ筈デアル此場合ニハ p ナル應力ハ P ヲ通ズル任意面ニ對スル P 點ノ應力トナル換言スレバ前述三平面ノ分應力 (Component stress) ガ $\sigma_x, \sigma_y, \sigma_z, \tau_{xy}, \tau_{yz}, \tau_{zx}$ デアル時ニ P ヲ通ジ是等三平面トハ α, β, γ ナル傾斜ヲ有スル任意平面ニ於ケル應力 p ノ量及方向ヲ決定シ得ルモノデアル。

尙以上ハ三平面ノ應力ハ分力ヲ以テ説明シテ來タガコレハ勿論其原力 (Original force) ヲ以テ之ヲ取扱ツテモ何等差異ハ無イ筈

デアル原力トハ p_x, p_y, p_z デアツテコレハ第一節 (I) = 於テ Fig. 89 = 示シテアル。

第三節 應力橢圓體 (Ellipsoid of Stress)

茲ニ物體內ノ一點 P ヲ通シテ三垂直平面ト α, β, γ ナル可變角ヲナシテ種々ノ位置ヲ採ル平面ヲ考ヘ其平面ノ應力並ビニ其方向ガ如何ナル法則ニ從ツテ變化スルカヲ知ル爲メニ茲ニ或一ツノ平面ニ對スル應力 p ヲ P カラ量及方向ヲ正シク $PQ = p$ ナル長サニテ表ハスモノトシ其平面ノ位置ヲ變ヘルニ從ツテ此 Q ガ如何ナル面ヲ作ルカ即チ Q 點ノ軌跡 (Locus) ヲ求メ様トスルノデアル。

Fig. 96 = 示ス如ク P ヲ原點トシテ本章第一節ニ考ヘタ三平面ノ原應力 p_x, p_y, p_z ノ方向ヲ此場合ノ座標軸ト考ヘテ置ク然ル時ハ p_x, p_y, p_z ハ相互ニ傾斜シテ居ル故ニ此場合ノ座標軸ハ傾斜軸 (Inclined axes) デアル此三軸ニ對スル Q ノ座標ヲ (x', y', z') トスル(此圖

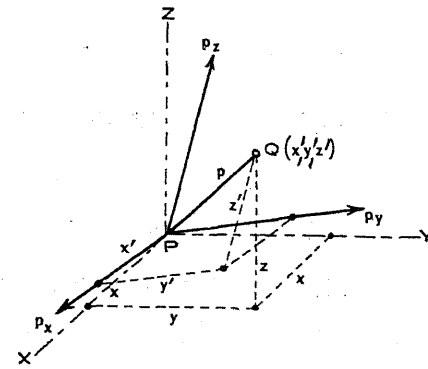


Fig. 96.

ニハ此傾斜座標軸ノ外ニ最初考ヘタ垂直座標軸 PX, PY, PZ = 鎖線デ記入シテアル) 今

$\lambda =$ PX ト p トノ間ノ角

$\lambda_x =$ PX ト p_x トノ間ノ角

$\lambda_y =$ PX ト p_y トノ間ノ角

$\lambda_z =$ PX ト p_z トノ間ノ角

トスレバ Q ノ座標 (x', y', z') ハ $p =$

PQ ナル應力ヲ傾斜軸 p_x, p_y, p_z ノ方向ヘ分解シタ分力ニ相當スル筈デアルガ故ニ應力 p ヲ原軸 PX ノ方向ヘ分解シタ分力ハ勿論

x', y', z' ノ方向へ分解シテ合計シタモノト同ジデアアル筈デア
アル,即チ式示スレバ

$$p \cdot \cos \lambda = x' \cdot \cos \lambda_x + y' \cdot \cos \lambda_y + z' \cdot \cos \lambda_z$$

更ニ Fig. 89 ニ示シタ關係カラ

$$\cos \lambda_x = \frac{\sigma_x}{p_x}, \quad \cos \lambda_y = \frac{\tau_y}{p_y}, \quad \cos \lambda_z = \frac{\tau_z}{p_z}$$

ナル事ヲ知ルガ故ニコレヲ上式ニ入レ

$$p \cdot \cos \lambda = \sigma_x \frac{x'}{p_x} + \tau_y \frac{y'}{p_y} + \tau_z \frac{z'}{p_z}$$

ト置き得ル,是レト(77)ノ第一式トヲ比較シ

$$\sigma_x \cos a + \tau_y \cos \beta + \tau_z \cos \gamma = \sigma_x \frac{x'}{p_x} + \tau_y \frac{y'}{p_y} + \tau_z \frac{z'}{p_z}$$

$$\therefore \cos a = \frac{x'}{p_x}, \quad \cos \beta = \frac{y'}{p_y}, \quad \cos \gamma = \frac{z'}{p_z}$$

此結果ヲ一般的关系

$$\cos^2 a + \cos^2 \beta + \cos^2 \gamma = 1$$

ニ挿入スル時ハ次式ヲ得ル。

$$\left(\frac{x'}{p_x}\right)^2 + \left(\frac{y'}{p_y}\right)^2 + \left(\frac{z'}{p_z}\right)^2 = 1 \dots\dots\dots(78)$$

此式ハ p_x, p_y, p_z ノ共軛半徑 (Conjugate radii) ニ有スル橢圓體 (Ellipsoid)

ノ式デアアル故ニ一般的关系トシテ

今物體內ノ一點 P ニ於テ其 P ヲ通ズル總テノ可能ナル断面

(All possible sections) ニ對スル應力ヲ量及方向ヲ正シク置ケバ其

應力ヲ示ス直線ノ端ノ軌跡ハ橢圓體トナル。

コノ橢圓體ヲ應力橢圓體 (Ellipsoid of stress) ト云フ。

第四節 主應力 (Principal Stresses)

上述シタ所ハ物體中ニ起リ得ル極一般的关系デアアルガ實際
ニ生ズル場合ハコレヨリ簡單ナ事ガ多イ,例ヘバ三平面ヲ考ヘル
立體的ヨリモ二平面ヲ考ヘル平面的ノ場合ガ多イ,此場合ニハ前
ノ一般的关系ノ場合ノ何レカーツノ方向ニハ分力ヲ有セナイ事トナ
リ今假ニ此分力ノ無イ方向ヲ Z 軸ノ方向ト考ヘレバ此時ニハ一
般的关系ニ取扱ツテ來タ應力ノ内デ

$$\sigma_z = 0, \quad \tau_{xz} = \tau_{zx} = \tau_y = 0, \quad \tau_{yz} = \tau_{zy} = \tau_x = 0$$

トナルガ故ニ前ニ考ヘタ應力ノ六分力ノ内三ツハ零トナリ殘ル
所ハ σ_x, σ_y 及 $\tau_{xy} = \tau_{yx}$ ノ三分力ノミトナル,茲ニ於テ今互ニ直角ナル二
平面ニ於ケル應力ガ與ヘラレタ場合ニ Z 軸ニ平行ナル第三ノ平
面ニ如何ナル應力ガ起ルカ,又其應力ノ最大ナルハ其平面ガ如何
ナル位置ヲ採ツタ時デアアルカヲ研究シテ見ヤウ。

Fig. 97 ニ示ス三邊ヲ通ジ紙面ニ直立スル角塊 (Prism) ヲ考ヘ Z
軸ニ平行ナル面 AB ノ長サ即チ紙面ニ直角ノ奥行ヲ dz トシ而シ

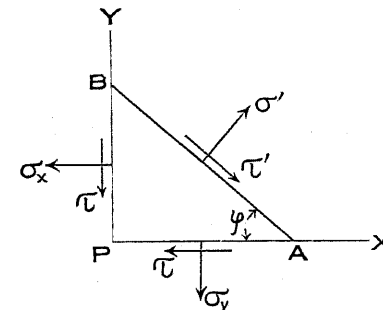


Fig. 97.

テ Z 軸ノ方向ニハ應力零ノモノトス
ル,今任意第三邊 AB ノ應力ヲ求メン
トスルニ

$dF = AB$ ナル傾斜面ノ面積

$\varphi = AB$ ガ X 軸トナス角

σ', τ' = 平面 AB ノ分應力

トセバ此角塊ノ平衡條件ヨリ X 軸ノ
方向ノ總テノ分力ノ和ガ零デアアル爲メニハ

$$\sigma' \cdot dF \cdot \sin \varphi + \tau' \cdot dF \cdot \cos \varphi - \sigma_x \cdot dF \cdot \sin \varphi - \tau \cdot dF \cdot \cos \varphi = 0$$

$$\therefore \sigma' \cdot \sin \varphi + \tau' \cdot \cos \varphi - \sigma_x \cdot \sin \varphi - \tau \cdot \cos \varphi = 0$$

Y 軸ノ方向ニ就キ同様ニ取扱フテ

$$\sigma' \cos \varphi - \tau' \sin \varphi - \sigma_y \cos \varphi - \tau \sin \varphi = 0$$

此二式カラ第三平面ニ於ケル二ツノ未知數 σ' 及 τ' ガ計算シ得ラレ

$$\sigma' = \sigma_x \sin^2 \varphi + \sigma_y \cos^2 \varphi + 2\tau \sin \varphi \cos \varphi$$

$$\tau' = (\sigma_x - \sigma_y) \sin \varphi \cos \varphi + \tau (\cos^2 \varphi - \sin^2 \varphi)$$

尙此式ヲ變形スル爲メ $\sin^2 \varphi = \frac{1 - \cos 2\varphi}{2}$, $\cos^2 \varphi = \frac{1 + \cos 2\varphi}{2}$ ヲ置ケ

$$\left. \begin{aligned} \sigma' &= \frac{\sigma_x + \sigma_y}{2} + \frac{\sigma_y - \sigma_x}{2} \cos 2\varphi + \tau \sin 2\varphi \\ \tau' &= \frac{\sigma_x - \sigma_y}{2} \sin 2\varphi + \tau \cos 2\varphi \end{aligned} \right\} \dots\dots\dots (79)$$

σ' 及 τ' ナル第三面ノ分應力ハ其面ノ傾斜 φ ノ函數デアル、即チ XY 面(紙面)ニ直角即チ Z 軸ニ平行ナル此面ノ X 軸トナス角度 φ ガ與ヘラレバ容易ニ其分應力 σ' 及 τ' ハ計算シ得ラレル。

σ' ガ最大値ヲ與ヘル時ノ傾斜及其量ヲ知ル爲メニハ σ' ノ一般式ヲ φ ニ對シ微分シテ $= 0$ ト置キ

$$\frac{d\sigma'}{d\varphi} = -\frac{\sigma_y - \sigma_x}{2} 2 \sin 2\varphi + 2\tau \cos 2\varphi = 0 \dots\dots\dots (a)$$

$$\therefore \tan 2\varphi = \frac{2\tau}{\sigma_y - \sigma_x} \dots\dots\dots (80)$$

$$\varphi = \frac{1}{2} \tan^{-1} \frac{2\tau}{\sigma_y - \sigma_x} + n \frac{\pi}{2} \dots\dots\dots (b)$$

(b) 式ニ於ケル n ハ任意ノ正又ハ負ノ整数ヲ採リ得ル、尙注意スベキ事ハ (a) 式ハ丁度(79)式ノ τ' ノ値ノ二倍ニ相當スルヲ見ル、故ニ σ' ガ最大又ハ最小トナル様ナ平面ニ於テハ τ' ハ零トナル事ヲ示ス、同

時ニ (b) 式ヨリ見テ此條件ニ協フ平面ハ少クモ互ニ直角ヲナシテ二ツ存在スル事ヲ知ル、茲ニ一ツノ除外例トスベキハ與ヘラレタル應力ノ内 $\tau = 0$ 従ツテ $\sigma_x = \sigma_y$ トナル場合デアツテ此場合ニハ他ノ總テノ平面ニ對シテ

$$\tau' = 0, \quad \sigma' = \sigma_x = \sigma_y$$

此場合ニハ σ' ハ傾斜 φ ニ無關係ニ何レノ方向ニ向ツテモ定數ヲナス事ヲ知ル。

一般ニ σ' ガ最大又ハ最小トナル平面ハ互ニ直角ヲ爲シテ二平面存在シ此平面ニ於テハ剪力 $\tau' = 0$ トナリ直應力 σ' ハ其平面ニ直角ヲ爲スヲ知ル、此方向ヲ稱シテ主軸 (Principal axis) ト云ヒ其平面ノ應力 σ' ヲ此點ニ於ケル主應力 (Principal stress) ト云フ。

此主應力ノ量ハ (79) 式ノ中へ (80) 式又ハ (b) 式ニ依ツテ決定サレタ φ ノ値ヲ挿入スレバ得ラレルベク又ハ一層簡單ニ (80) 式ヲ $\sin 2\varphi$ 及 $\cos 2\varphi$ ニ分解シテ

$$\sin 2\varphi = \pm \frac{2\tau}{\sqrt{4\tau^2 + (\sigma_y - \sigma_x)^2}}$$

$$\cos 2\varphi = \pm \frac{\sigma_y - \sigma_x}{\sqrt{4\tau^2 + (\sigma_y - \sigma_x)^2}}$$

ヲ得コレヲ (79) 式ニ挿入シテ

$$\sigma'_{\max/\min} = \frac{\sigma_x + \sigma_y}{2} \pm \frac{1}{2} \frac{(\sigma_y - \sigma_x)^2 + 2\tau^2}{\sqrt{4\tau^2 + (\sigma_y - \sigma_x)^2}}$$

又ハ簡單ニ

$$\sigma'_{\max/\min} = \frac{\sigma_x + \sigma_y}{2} \pm \frac{1}{2} \sqrt{4\tau^2 + (\sigma_y - \sigma_x)^2} \dots\dots\dots (81)$$

若シ $\tau = 0$ ナル場合ニハ主軸ノ方向ハ座標軸ト一致スル、故ニ σ_x 及 σ_y ハ其レ自身ガ主應力トナル。

次ニ τ' ノ 最大値ヲ 求メシニハ(79)式ノ τ' ノ 値ヲ φ ニ 對シ 微分シ
テ $=0$ ト 置キ

$$\frac{d\tau'}{d\varphi} = \frac{\sigma_x - \sigma_y}{2} \cdot 2\cos 2\varphi - 2\tau \sin 2\varphi = 0$$

故ニ τ' ガ 最大又ハ 最小ナル 時ノ 條件ハ

$$\tan 2\varphi = \frac{\sigma_x - \sigma_y}{2\tau} \dots\dots\dots(82)$$

此 値ハ(80)式ヨリ 見出サレタ 處ノ $\cot 2\varphi$ ノ 負 値ニ 相當ス、故ニ(82)式
ニテ 求メタ 角度 2φ ハ(80)式ニテ 見出サレタ 2φ トハ $\frac{\pi}{2}$ ダケノ 相違ヲ
有シ 從ツテ 其 X 軸トノ 間ニ 爲ス 角 φ ハ 互ニ $\frac{\pi}{4}$ ダケノ 相違ヲ 有ス
ルヲ 知ル、即チ σ' ガ 最大ナル 様ナ 主軸ト τ' ガ 最大ナル 様ナ 方向ト
ハ 互ニ $\frac{\pi}{4}$ ノ 傾斜ヲ 爲スノ デアル、尙前ニ 述べタ 如ク 直應力 σ' ノ 最大
又ハ 最小ナル 方向ニ 於テハ 應剪力 τ' ハ 零トナルノ デアルガ 其
逆ニ 應剪力ガ 最大ナル 方向ニテハ 直應力ハ 必ズシモ 零トナラ
ナイ 事ハ 注意スベキ 事柄 デアル。

τ' ノ 最大値ヲ 求メルニハ 今 見出シタ 傾斜(82)式ヲ(79)式ニ 挿入ス
レバヨイノ デアツテ 其 爲メニ

$$\sin 2\varphi = \pm \frac{\sigma_x - \sigma_y}{\sqrt{4\tau^2 + (\sigma_x - \sigma_y)^2}}$$

$$\cos 2\varphi = \pm \frac{2\tau}{\sqrt{4\tau^2 + (\sigma_x - \sigma_y)^2}}$$

トシテ(79)式ニ 挿入シ

$$\tau'_{max} = \pm \frac{1}{2} \sqrt{4\tau^2 + (\sigma_x - \sigma_y)^2} \dots\dots\dots(83)$$

此 式ニテ 得ラルル 最大ト 最小トハ 單ニ 其 符號ヲ 異ニスルノ ミデ
アツテ 直應力ニ 於ケル 如ク 其 量ヲ 異ニスルノ デハナイ、方向ヲ 逆
ニスルノ ミデアル。

例題第十。 徑 1" ノ 丸鐵 3000# ノ 張力ト 1ton ノ 剪力トヲ 受ク、主 應力及 最大主 剪
力並ビニ 其 軸トナス 角ヲ 求ム。

(答) 丸鐵ノ 中心軸ノ 方向ヲ X 軸ニ 採レバ 此 1" 丸鐵ノ 斷面積 $=0.7854$ 平方
ガ 故ニ

$$\sigma_x = \frac{3000}{.7854} = 3819 \text{ #/sq. in.}, \sigma_y = 0$$

$$\tau = \frac{2240}{.7854} = 2852 \text{ #/sq. in.}$$

故ニ(81)式ニ 據リ

$$\sigma'_{max} = \frac{\sigma_x}{2} \pm \frac{1}{2} \sqrt{4\tau^2 + \sigma_x^2} = \frac{3819}{2} \pm \frac{1}{2} \sqrt{4 \times 2852^2 + 3819^2}$$

$$= 5342 \text{ #/sq. in. 或ハ } -1522 \text{ #/sq. in.}$$

(80)式ニヨリ 軸ト 爲ス 角ハ

$$\tan 2\varphi = \frac{2\tau}{-\sigma_x} = -\frac{2 \times 2852}{3819} = -1.494$$

$$2\varphi = 123^\circ 48' \text{ 或ハ } -56^\circ 12'$$

$$\therefore \varphi = 61^\circ 54' \text{ 或ハ } -28^\circ 6'$$

更ニ(83)式ニ 據リ

$$\tau'_{max} = \pm \frac{1}{2} \sqrt{4\tau^2 + \sigma_x^2} = \pm \frac{1}{2} \sqrt{4 \times 2852^2 + 3819^2} = \pm 3432 \text{ #/sq. in.}$$

其 方向ハ(82)式ニヨリ

$$\tan 2\varphi = \frac{\sigma_x}{2\tau} = \frac{3819}{2 \times 2852} = 0.669$$

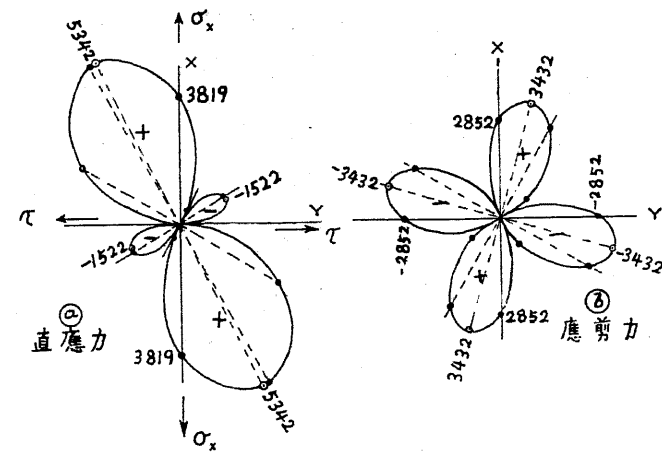


Fig. 98.

$\dots 2\varphi = 33^\circ 48'$ 或 $\dots -146^\circ 12'$
 $\varphi = 16^\circ 54'$ 或 $\dots -73^\circ 6'$

以上求メタル結果及 φ 種々ノ値ニ變化シタル場合ノ σ' 及 τ' テ(79)式ニ據ツテ計算シタルモノヲ圖示シテ Fig. 98 テ得ル。

第五節 應力橢圓 (Ellipse of Stress)

今茲ニ Fig. 99 ニ於テ Z 軸ニ直角ナ任意平面ヲ採ツテ考ヘ其分

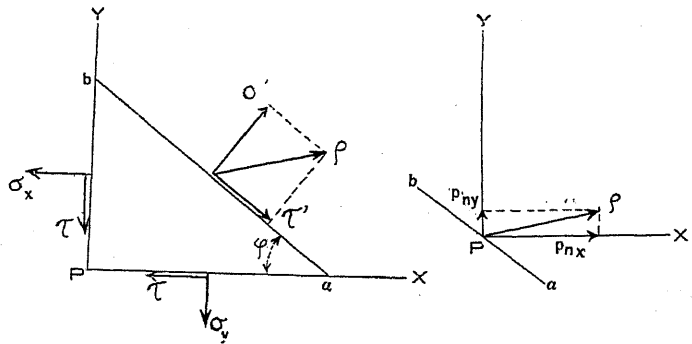


Fig. 99.

應力 σ' 及 τ' テ(79)式ニ據ツテ計算シタルモノトス、今此 σ' 及 τ' ノ分力ヲ結合セル合成力ヲ ρ トセバ第三面 ab ノ一ツノ位置ニ對シテ一ツノ ρ ガ存スル理デアアル、今平面 ab ガ原點 P ニ接近シ遂ニ P ト一致シタル場合ヲ考ヘ原點カラ此合成應力 ρ ヲ適當ノ縮尺デ正シク置キ斯クテ第三面ノ位置ヲ變化スルニ從ツテ ρ ガ如何ナル位置、如何ナル量ニ變化スルカハ ρ ヲ示ス直線ノ端ガ作ル軌跡ヲ檢スレバヨイ。此軌跡ハ橢圓トナルノデアツテ是ヲ應力橢圓 (Ellipse of stress) ト云フ、コレハ立體的ニ考慮シテ第三節ニ應力橢圓體ヲ生ズル事ヲ説明シタル特殊ノ場合ニ過ギス。

此事實ヲ證明センニハ先ヅ合成力 ρ テ XY 軸ノ方向ニ分解シ X 軸ノ方向ノ分力ヲ p_{nx} 、 Y 軸ノ方向ノ分力ヲ p_{ny} ト命ズル。Fig. 100 ニ明カナ如ク p_{nx} 、 p_{ny} ハ求ムル曲線ノ座標トナル、 p_{nx} 、 p_{ny} テ求ムルニハ ρ テ分解シテ求メル事モ出來又ハ第四

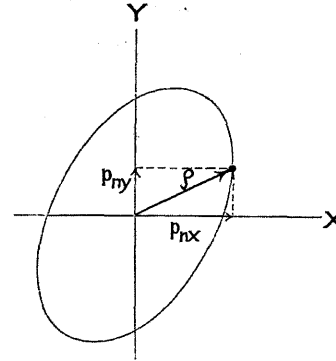


Fig. 100.

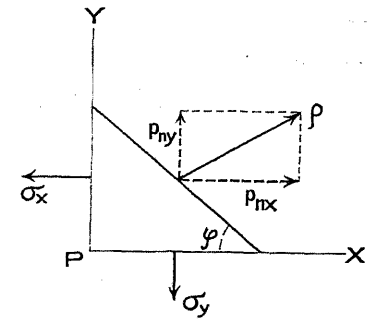


Fig. 101.

節(79)式カラ求メタル σ' 、 τ' テ分解シテ求ムル事モ出來ル、然シ次ノ如クスルガ最モ簡單デアラウ、即チ座標軸ヲ變更シ主軸ヲ座標軸ニ擇ベバ Fig. 99 ハ Fig. 101 ノ如クナル、此圖上ノ X, Y 軸ヲ主軸ト一致スルモノトスレバ $\tau=0$ トナリ σ_x 及 σ_y ハ主應力トナル、故ニ X 軸ト φ チナス第三面ニ於ケル應力ヲ直接 p_{nx}, p_{ny} ニ分解シ平衡條件ヲ用フレバ

$$p_{nx}.dF = \sigma_x.dF.\sin \varphi,$$

$$p_{ny}.dF = \sigma_y.dF.\cos \varphi,$$

$$\therefore p_{nx} = \sigma_x \sin \varphi, \quad p_{ny} = \sigma_y \cos \varphi.$$

此二式ヨリ φ チ消去スル爲メ自乗ノ和ヲ求メ

$$\left(\frac{p_{nx}}{\sigma_x}\right)^2 + \left(\frac{p_{ny}}{\sigma_y}\right)^2 = 1 \dots\dots\dots (84)$$

此式ハ σ_x 及 σ_y チ長短軸トスル橢圓ヲ表ハス Fig. 102 ハ此橢圓ヲ示スモノデアアル。

以上ハ物體內ノ一點ノ應力ヲ一般的ニ説明シタルモノデアツテ應力ハ常ニ橢圓ヲ以テ與ヘラレルモノデアアル、其特殊ノ場合

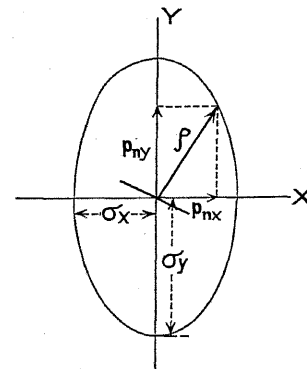


Fig. 102.

ハ $\sigma_z = \sigma_y$ ナル時デアツテ楕圓ハ圓トナリ $\nu = 0$ トナリアラユル方向ノ應力が主應力トナル、コレハ靜止状態ニアル液體内部ノ應力分布ヲ示スモノデアアル。

例題第十一。例題第十ニ於テ Fig. 98 ニ示シタ直應力及應剪力ヲ合成シテ應力楕圓ヲ作圖セヨ。

(答) Fig. 103 参照。簡單ナル圖式合成ニ依リ所要ノ應力楕圓ヲ得ル。

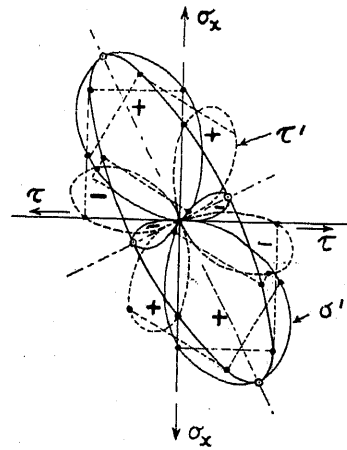


Fig. 103.

第六節 眞應力 (True Stresses or Reduced Stresses)

眞應力トハ眞變形 (True strain) ニ相當スル應力ヲ云ヒコレガ構造物強度ノ尺度 (Measure) トナルモノデアアル、今 $\sigma_I, \sigma_{II}, \sigma_{III}$ ヲ或點ニ於ケル主應力トスレバ是等ハ互ニ直角ヲ爲スモノデアアル、從ツテ生ズベキ變形ハ相互ノ作用ニ因ル横縮 (Lateral contraction) ノ影響ヲ受ケルベク今「ポアソン」比ヲ考ヘニ入レテ眞變形ヲ求ムレバ

$$\epsilon_I = \frac{1}{E} \left(\sigma_I - \frac{\sigma_{II} + \sigma_{III}}{m} \right)$$

$$\epsilon_{II} = \frac{1}{E} \left(\sigma_{II} - \frac{\sigma_{III} + \sigma_I}{m} \right)$$

$$\epsilon_{III} = \frac{1}{E} \left(\sigma_{III} - \frac{\sigma_I + \sigma_{II}}{m} \right)$$

コレト同ジ變形ヲ生ズル應力が眞應力デナケレバナラヌ、故ニ眞應力ハ

$$\left. \begin{aligned} \text{red} \sigma_I &= \epsilon_I E = \sigma_I - \frac{\sigma_{II} + \sigma_{III}}{m} \\ \text{red} \sigma_{II} &= \epsilon_{II} E = \sigma_{II} - \frac{\sigma_{III} + \sigma_I}{m} \\ \text{red} \sigma_{III} &= \epsilon_{III} E = \sigma_{III} - \frac{\sigma_I + \sigma_{II}}{m} \end{aligned} \right\} \dots \dots \dots (85)$$

此三式ノ内何レが大ナル應力トナルカ即チ其材料ハ此三ツノ應力ノ内ノ何レニヨツテ支配セラルルカヲ實際ニ當ツテ算定シ考察スレバヨイノデアアル。

次ニ簡單ナル場合ヲ採リ平面的ニ考ヘテ主應力ヲ σ_I, σ_{II} トセバ眞變形ハ横縮ヲ考ヘニ入レテ

$$\epsilon_I = \frac{1}{E} \left(\sigma_I - \frac{1}{m} \sigma_{II} \right)$$

$$\epsilon_{II} = \frac{1}{E} \left(\sigma_{II} - \frac{1}{m} \sigma_I \right)$$

故ニ眞應力ハ

$$\left. \begin{aligned} \sigma_{I'} &= \sigma_I - \frac{1}{m} \sigma_{II} \\ \sigma_{II'} &= \sigma_{II} - \frac{1}{m} \sigma_I \end{aligned} \right\} \dots\dots\dots (86)$$

此二式ノ内何レカ大ナル方ヲ採レバヨイ。

前 = 第四節 = 説明シタ如ク主應力ハ(81)式ニヨツテ與ヘラレ

$$\sigma_I = \frac{\sigma_x + \sigma_y}{2} + \frac{1}{2} \sqrt{4\tau^2 + (\sigma_y - \sigma_x)^2}$$

$$\sigma_{II} = \frac{\sigma_x + \sigma_y}{2} - \frac{1}{2} \sqrt{4\tau^2 + (\sigma_y - \sigma_x)^2}$$

此値ヲ(86)式ニ挿入シ

$$\sigma_{I'} = \sigma_I - \frac{1}{m} \sigma_{II} = \frac{m-1}{2m} (\sigma_x + \sigma_y) + \frac{m+1}{2m} \sqrt{4\tau^2 + (\sigma_y - \sigma_x)^2}$$

$$\sigma_{II'} = \sigma_{II} - \frac{1}{m} \sigma_I = \frac{m-1}{2m} (\sigma_x + \sigma_y) - \frac{m+1}{2m} \sqrt{4\tau^2 + (\sigma_y - \sigma_x)^2}$$

即チ一般的ニ書キ

$$\sigma_{red} = \frac{m-1}{2m} (\sigma_x + \sigma_y) \pm \frac{m+1}{2m} \sqrt{4\tau^2 + (\sigma_y - \sigma_x)^2}$$

此式ノ m ナル横縮係數ヲ

$$\left. \begin{aligned} m=4 \text{ ト採レバ } \sigma_{red} &= \frac{3}{8} (\sigma_x + \sigma_y) \pm \frac{5}{8} \sqrt{4\tau^2 + (\sigma_y - \sigma_x)^2} \\ m=3 \text{ ト採レバ } \sigma_{red} &= \frac{1}{3} (\sigma_x + \sigma_y) \pm \frac{2}{3} \sqrt{4\tau^2 + (\sigma_y - \sigma_x)^2} \\ m=\frac{10}{3} \text{ ト採レバ } \sigma_{red} &= 0.35(\sigma_x + \sigma_y) \pm 0.65 \sqrt{4\tau^2 + (\sigma_y - \sigma_x)^2} \end{aligned} \right\} \dots\dots\dots (87)$$

以上説明シタ所ニヨリ明カナルガ如ク(81)式ハ一點ニ存スル最大及最小主應力ヲ與フルモノデアルガ實ハ見掛ケノ應力(Apparent stress)ニ過ギナイ、コレニ横縮ノ影響ヲ考ヘタモノガ(87)式デアツテ主軸ニ於ケル真應力ヲ與ヘルモノデアル。

問 題 集 第 五

(1) 徑 $\frac{3}{4}$ ノ緩鉄ニ 2000 # ノ張力ト 3000 # ノ剪力ト作用スル時合成最大應張及應剪力ノ量及方向ヲ求ム。

答 $\sigma_{max} = 9420 \text{ #/sq. in.}$, 軸ト $54^\circ 23'$, $\tau_{max} = 7155 \text{ #/sq. in.}$, $9^\circ 13'$

(2) 一ツノ軸 (shaft) 内ノ一點ニ於テ斷面内ニ 3 tons/sq. in. ノ應剪力ト斷面ニ直角ナル 2 tons/sq. in. ノ應張力トヲ有ス、最大直應力及應剪力ヲ求ム。

答 4.16 t/sq. in. , 3.16 t/sq. in.

(3) 應力ヲ受クル材料アリ、其一點ニ於テ直角ニ交ルニ平面ニ受クル直應力ハ應張 5 tons/sq. in. 及 3 tons/sq. in. ニシテ今之等ノ平面ニ於ケル應剪力ガ 4 tons/sq. in. ナリトセバ其點ニ生ズル最大直應力ノ量及之レニ直角ナル平面ノ方向如何。

答 8.12 t/sq. in. ; 5 t/sq. in. 應力ノ軸ニ對シ $22 \frac{1}{2}^\circ$ ヲ有スル平面ニ直角トナル。

(4) 直方體アリ、稜長 $AP = 2.0 \text{ cm}$, $BP = 1.6 \text{ cm}$, $CP = 2.8 \text{ cm}$ ヲ有ス、平面 BC ニ於テ張力 670 kg , CA ニ於テ壓力 940 kg , AB ニ於テ壓力 730 kg 作用スル時三稜ノ伸縮何程カ但シ $E = 2 \times 10^6$, $m = \frac{10}{3}$ トス。

答 $AP, \epsilon_1 = 134 \times 10^{-6}$; $BP, \epsilon_2 = -72 \times 10^{-6}$; $CP, \epsilon_3 = -111 \times 10^{-6}$

(5) 彈性體内ニ作用スル主應力 σ_1, σ_2 及 σ_3 トコレニ相當スル主變形 ϵ_1, ϵ_2 , 及 ϵ_3 トハ次ノ關係ヲ有スル事ヲ證明セヨ。

$$\sigma_1 = \frac{m}{m+1} E \left(\epsilon_1 + \frac{e}{m-2} \right)$$

$$\sigma_2 = \frac{m}{m+1} E \left(\epsilon_2 + \frac{e}{m-2} \right)$$

$$\sigma_3 = \frac{m}{m+1} E \left(\epsilon_3 + \frac{e}{m-2} \right)$$

但 $e = \epsilon_1 + \epsilon_2 + \epsilon_3 =$ 容積變化率。

(6) Hooke 氏法則ニ從ハザル物質アリ C. v. Bach 氏法則即チ $\sigma^n = C \epsilon$ ニ從フモノトシテ主應力 σ_1, σ_2 , 及 σ_3 ト主變形 ϵ_1, ϵ_2 及 ϵ_3 トノ間ニ次ノ關係ノ存スル事ヲ證セヨ。

$$\sigma_1^n = \frac{m}{m+1} C \left(\epsilon_1 + \frac{e}{m-2} \right)$$

(7) 内徑 a ナル圓筒内ニ適合スル長 b ノ圓環體アリ、長サノ方向ニ P ナル直壓ヲ受ケタル時圓筒壁ニ變形陥入ヲ生ゼザルモノトスレバ此壁ニ作用スル壓力度如何。 答 $\sigma = \frac{4P}{\pi a^2(m-1)}$